

## ИЗМЕРЕНИЕ СВЧ-ПАРАМЕТРОВ МИКРОВОЛНОВЫХ ДВУХПОЛЮСНИКОВ

Николаенко А.Ю., магистрант<sup>1</sup>; Львов А.А., д.т.н., проф.<sup>1</sup>; Львов П.А., к.т.н.<sup>2</sup>  
<sup>1</sup>Саратовский государственный технический университет имени Гагарина Ю.А.,  
 г. Саратов, Россия, <sup>2</sup>ОАО Энгельское ОКБ «Сигнал» им. А.И. Глухарёва, г. Энгельс, Россия)

Для автоматического измерения комплексных коэффициентов отражения двухполосников в настоящее время применяются два широко известных метода: векторного вольтметра (ВВ) и многополосного рефлектометра (МР) [1]. Недостатком автоматического анализатора цепей (ААЦ), основанного на методе ВВ [1,2], является сложность изготовления и высокая стоимость. Главным недостатком метода МР является трудность калибровки.

В работе [2] предлагается объединить в одном устройстве достоинства обоих методов, максимально устранив недостатки. Для этого разработан ААЦ, блок-схема которого показана на рис. 1. Предлагается выходы измерительных плеч МР подсоединить к смесителям блока понижения частоты. После гетеродинирования аналоговые сигналы преобразуются в цифровую форму и вводятся в память компьютера. Вся последующая обработка данных производится в цифровой форме с использованием соответствующего математического обеспечения.

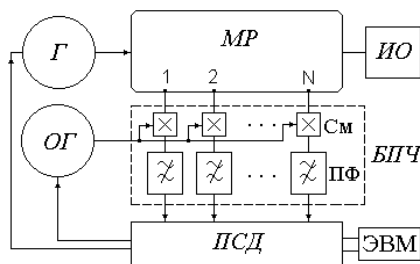


Рисунок 1 - Структурная схема ААЦ на основе многоканального ВВ

На рис. 1 обозначено:  $\Gamma$ ,  $\text{ОГ}$  – основной и опорный СВЧ генераторы;  $\text{МР}$  – многополосный рефлектометр; 1, 2, ...,  $N$  – измерительные плечи;  $\text{ИИ}$  – исследуемая нагрузка;  $\text{См}$  – смесители;  $\text{ПФ}$  – полосовые фильтры;  $\text{БПЧ}$  – блок понижения частоты;  $\text{ПСД}$  – плата сбора данных.

Если сигнал с измерительного порта МР подать на вход смесителя, на второй вход которого поступает напряжение от опорного генератора, то действительный сигнал на выходе  $j$ -го смесителя будет иметь вид [2]:

$$v_j = U_j \cos(\omega \cdot t + \varphi_j) \cdot \cos[(\omega - \nu)t] = \\ 0,5 \cdot U_j \{ \cos(\nu \cdot t + \varphi_j) + \cos[(2\omega - \nu)t + \varphi_j] \}, j=1,2,\dots,N$$

где  $U_j$ ,  $\varphi_j$  – неизвестные амплитуда и фаза СВЧ-сигнала в  $j$ -м измерительном плече МР соответственно;  $\omega$  – известная круговая частота СВЧ сигнала;  $\nu$  – известная разность между частотами основного  $\Gamma$  и опорного  $\text{ОГ}$  генераторов.

Полосовой фильтр выделяет только низкочастотную составляющую сигнала  $v_j(t)$ :

$$g_j(t) = U_j \cos(\nu \cdot t + \varphi_j) + \xi_j, j=1,2,\dots,N$$

где  $\xi_j$  – ошибка измерения в  $j$ -м канале.

После аналого-цифрового преобразователя ПСД сигналы  $g_j$  преобразуются в цифровую форму, образуя  $N$  последовательностей по  $K$  отсчетов в каждой:

$$g_j(t_k) = g_{jk} = U_j \cdot \cos(\nu \cdot k \cdot \tau + \varphi_j) + \xi_{jk}, (j=1,2,\dots,N; k=1,2,\dots,K) \quad (1)$$

где  $\tau$  – время между двумя последовательными отсчетами в одной последовательности;  $k$  – номер отсчета измеренного оцифрованного сигнала.

Задача заключается в нахождении оценок неизвестных параметров  $a$  и  $b$  по цифровым отсчетам измеренных напряжений  $\mathcal{G}_{jk}$  (1). Комплексная амплитуда отклика  $j$ -го измерительного плеча  $u_j$  связана с комплексными амплитудами падающей  $b$  и отраженной  $a$  волн уравнением [2]:

$$u_j = A_j \cdot a + B_j \cdot b + \Xi_j, j=1,2,\dots,N \quad (2)$$

где  $A_j, B_j$  – известные комплексные коэффициенты передачи  $j$ -го канала для отраженной и падающей волн соответственно, найденные при калибровке;  $\Xi_j$  – комплексная ошибка измерения  $u_j$ .

Таким образом, если оценки амплитуд  $u_j$  известны, то можно вычислить оценки параметров  $a$  и  $b$ , характеризующих исследуемый двухполюсник. Следовательно, первый этап обработки данных  $\mathcal{G}_{jk}$ , полученных с измерительных плеч МР должен заключаться в оценивании на их основе комплексных амплитуд  $u_j$ .

Систему (1) преобразуем для удобства следующим образом:

$$v_{jk} = U_j \cdot \cos(v \cdot k \cdot \tau) \cdot \cos(\varphi_j) - U_j \cdot \sin(v \cdot k \cdot \tau) \cdot \sin(\varphi_j) + \xi_{jk}, \quad (3)$$

Тогда после замены переменных

$$\begin{cases} y_j = U_j \cos(\varphi_j), \\ z_j = U_j \sin(\varphi_j), \\ x_{1k} = \cos(v \cdot k \cdot \tau), \\ x_{2k} = -\sin(v \cdot k \cdot \tau), \end{cases} (j=1,2,\dots,N; k=1,2,\dots,K) \quad (4)$$

система (3) может быть переписана следующим образом:

$$v_{jk} = y_j \cdot x_{1k} + z_j \cdot x_{2k} + \xi_{jk}, \quad (5)$$

Параметры  $v, x_{1k}$  и  $x_{2k}$  считаются известными в каждом измерении. Ошибки  $\xi_{jk}$  возникают в значительной степени вследствие действия теплового шума согласующих усилителей ПСД, следовательно, они могут считаться независимой выборкой нормального процесса с нулевым математическим ожиданием и неизвестной фиксированной дисперсией  $\sigma^2$ .

Из (4) очевидно, что неизвестные величины  $y_j$  и  $z_j$  суть действительные и мнимые части соответствующих комплексных амплитуд  $u_j$ . Оценки этих компонентов могут быть определены из линейной системы (5) с помощью метода максимального правдоподобия (ММП) [4]. В случае нормальных погрешностей измерения он состоит в решении (5) по методу наименьших квадратов. Таким образом, оценки  $y_j$  и  $z_j$  получаются из выражения

$$\hat{u}_j = (\mathbf{X}^T \mathbf{X})^{-1} (\mathbf{X}^T \mathbf{V}_j), j=1,2,\dots,N \quad (6)$$

где  $\hat{u}_j = (\hat{y}_j, \hat{z}_j)^T$  – вектор соответствующих оценок;  $\mathbf{V}_j = (v_{j1}, \dots, v_{jK})^T$  – вектор, состоящий из  $K$  отсчетов напряжения в  $j$ -м канале;  $\mathbf{X}$  – матрица плана эксперимента, состоящая из величин  $x_{qk}$  (4)

$$\mathbf{X}^T = \begin{bmatrix} x_{11} & x_{12} & \dots & x_{1K} \\ x_{21} & x_{22} & \dots & x_{2K} \end{bmatrix}$$

После того, как найдены оценки из (6), легко построить оценки комплексных амплитуд

$$\hat{u}_j = U_j \cdot \exp\{i \cdot \varphi_j\} = \hat{y}_j + i \cdot \hat{z}_j \quad (7)$$

где  $i$  – единичный орт в направлении мнимой оси на комплексной плоскости.

Так как ошибки  $\xi_{jk}$  нормально распределены и независимы, то действительные и

мнимые части погрешностей  $\Xi_j$  из системы (2) будут распределены тоже нормально [3]. Подставляя оценки  $u_j$  из (7) в (2) можно получить систему уравнений относительно неизвестных переменных  $a$  и  $b$ , подобную системе (5). Оптимальные оценки параметров  $a$  и  $b$  могут быть получены по ММП. Для простоты система из  $N$  комплексных уравнений преобразована в эквивалентную систему из  $2N$  действительных уравнений

$$\begin{aligned}\hat{y}_j &= \operatorname{Re}(A_j)\operatorname{Re}(a) - \operatorname{Im}(A_j)\operatorname{Im}(a) + \operatorname{Re}(B_j)\operatorname{Re}(b) - \operatorname{Im}(B_j)\operatorname{Im}(b) + \operatorname{Re}(\Xi_j), \\ \hat{z}_j &= \operatorname{Im}(A_j)\operatorname{Re}(a) + \operatorname{Re}(A_j)\operatorname{Im}(a) + \operatorname{Re}(B_j)\operatorname{Re}(b) + \operatorname{Im}(B_j)\operatorname{Im}(b) + \operatorname{Im}(\Xi_j),\end{aligned}\quad (8)$$

где  $\operatorname{Re}$  и  $\operatorname{Im}$  – действительная и мнимая части комплексной величины,  $j=1, \dots, N$ .

Но составляющие  $y_j$  и  $z_j$  не независимы, и система (8) должна быть решена в соответствии с взвешенным методом наименьших квадратов [4]:

$$\hat{\mathbf{T}} = (\mathbf{H}^T \cdot \mathbf{W} \cdot \mathbf{H})^{-1} (\mathbf{H}^T \cdot \mathbf{W} \cdot \mathbf{Z}), \quad (9)$$

где  $\mathbf{T} = [\operatorname{Re}(a), \operatorname{Im}(a), \operatorname{Re}(b), \operatorname{Im}(b)]^T$  – вектор неизвестных параметров, подлежащих оценке;  $\mathbf{Z} = (\hat{y}_1, \hat{z}_1, \dots, \hat{y}_N, \hat{z}_N)^T$  – соответствующие оценки;  $\mathbf{H}$  и  $\mathbf{W}$  – матрица плана эксперимента и диагональная весовая матрица ковариаций вектора  $\mathbf{Z}$  соответственно

$$\mathbf{H} = \begin{bmatrix} \operatorname{Re}(A_1) & -\operatorname{Im}(A_1) & \operatorname{Re}(B_1) & -\operatorname{Im}(B_1) \\ \operatorname{Im}(A_1) & \operatorname{Re}(A_1) & \operatorname{Im}(B_1) & \operatorname{Re}(B_1) \\ \vdots & \vdots & \vdots & \vdots \\ \operatorname{Re}(A_N) & -\operatorname{Im}(A_N) & \operatorname{Re}(B_N) & -\operatorname{Im}(B_N) \\ \operatorname{Im}(A_N) & \operatorname{Re}(A_N) & \operatorname{Im}(B_N) & \operatorname{Re}(B_N) \end{bmatrix};$$

$$\mathbf{W} = \operatorname{diag}(C, C, \dots, C);$$

$C$  – ковариационная матрица ( $2 \times 2$ ) векторов  $\dot{u}_j$ , определяемая соотношением (6)

$$C = (\mathbf{X}^T \cdot \mathbf{X})^{-1}.$$

После того, как оценки  $a$ ,  $b$  были найдены из (9), легко можно вычислить комплексный коэффициент отражения исследуемой нагрузки

$$\rho = a/b \quad (10)$$

Все операции, выполняемые с исходными данными (напряжениями  $\mathcal{G}_{jk}$ ), являются линейными вплоть до самого последнего шага (10).

С целью проведения статистического имитационного моделирования процесса измерения с помощью описанного векторного измерителя с четырьмя измерительными датчиками был разработан специальный пакет программ для оптимального оценивания параметров исследуемых нагрузок по дискретным отсчетам на выходах измерительных каналов по ММП.

Исследовалась точность измерения, характеризуемая средней квадратической ошибкой в зависимости от отношения сигнал/шум на выходах измерительных плеч ААЦ. Собственные константы МР считались точно известными. Отношение сигнал/шум равнялось  $b^2/\sigma^2$ , где  $\sigma^2$  – дисперсия погрешностей измерений  $\xi_{jk}$  в модели (5). Моделирование проводилось для различных значений коэффициента стоячей волны по напряжению (КСВн) исследуемой нагрузки.

$$КСВн = \frac{1 + |\rho|}{1 - |\rho|}$$

Для каждого заданного значения отношения сигнал/шум и каждого значения КСВн проводилось по 10000 модельных экспериментов по оцениванию модуля и фазы ККО  $\rho$ . После

чего рассчитывался средний квадрат погрешности измерений по формуле:

$$\bar{S}_\lambda^2 = \frac{1}{10000} \sum_{m=1}^{10000} (\hat{\lambda}_m - \lambda^*)^2,$$

где  $\lambda$  обозначает модуль или фазу оцениваемого ККО,  $\hat{\lambda}_m$  – оценка параметра в  $m$ -ом модельном эксперименте,  $\lambda^*$  – истинное значение параметра в опыте.

На рис. 2 а, б показаны некоторые результаты, где приведены зависимости дисперсии погрешности оценивания модуля и фазы ККО от отношения сигнал/шум на выходе датчиков для различных значений КСВн измеряемых нагрузок. Как видно из графиков, систематические погрешности измерения отсутствуют. Это подтверждает теоретический вывод о высокой потенциальной точности предлагаемого ААЦ.

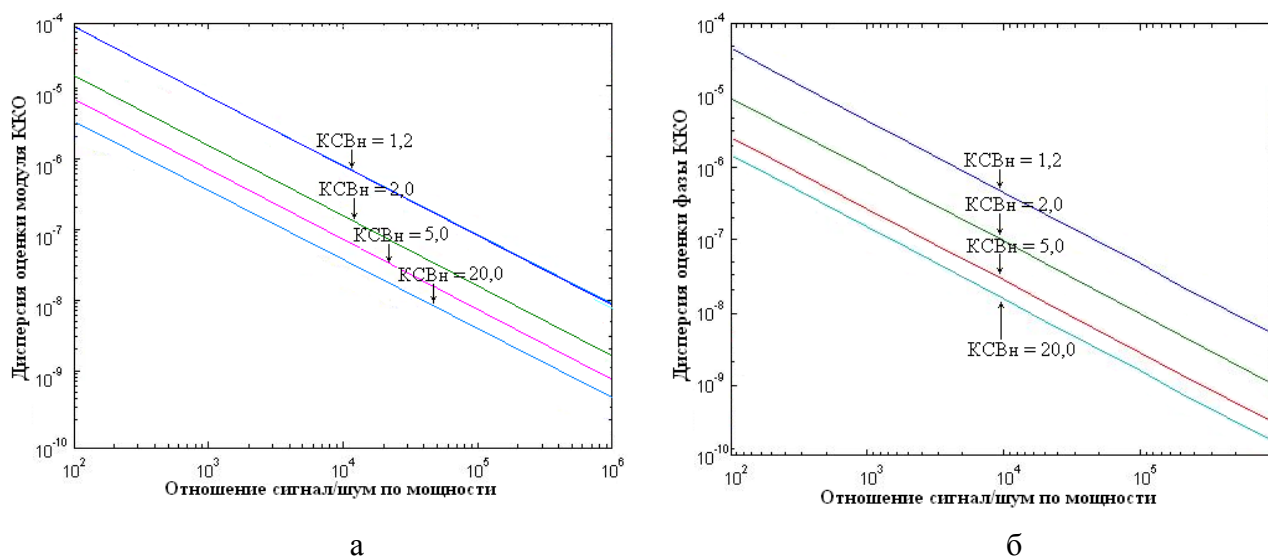


Рисунок 2 - Зависимость дисперсии погрешности оценивания модуля и фазы ККО от отношения сигнал/шум по мощности

В работе описан векторный ААЦ, сочетающий достоинства традиционно применяемых анализаторов, основанных на ВВ и МР и лишённый их основных недостатков. В новом методе измерения применяется МР в комбинации с гетеродинированием частоты измерений. Разработан оптимальный алгоритм измерения параметров СВЧ-нагрузок. Он заключается в оптимальной обработке сигналов с выходов блока понижения частоты по ММП. Показано, что в случае распределения ошибок по гауссову закону решение уравнений обеспечивает эффективные и оптимальные оценки параметров, подлежащих измерению. Предложенный статистический подход позволяет получить потенциально достижимую точность измерения.

#### Перечень ссылок

1. Рейзенкинд, Я.А. Состояние и перспективы развития методов измерения параметров двухполюсников и четырехполюсников на СВЧ / Я.А. Рейзенкинд, В.А. Следков // Зарубежная радиоэлектроника. – 1988, №8. - С.30-60.
2. L'vov, A.A. A New Technique for Microwave Circuit Parameter Measurement / A.A. L'vov, K.V. Semenov // The Automatic RF Techniques Group Conference Digest, ARFTG 47th, San Francisco, U.S.A., 1996. – P. 188-195.
3. Линник, Ю.В. Метод наименьших квадратов и основы теории обработки наблюдений / Ю.В. Линник. – М.: ГИФМЛ, 1958. – 334 с.
4. Engen, G.F. The Six-Port Reflectometer: An Alternative Network Analyzer / G.F. Engen // IEEE Transactions on Microwave Theory and Technique, Vol. MTT-25, no. 12, Dec. 1977. – P. 1075-1079.